

## 열처리 조건에 따른 스피넬 $\text{LiMn}_2\text{O}_4$ 의 전기 화학적 특성

논문  
12-1-7

### Electrochemical Properties of Spinel $\text{LiMn}_2\text{O}_4$ Synthesized at Various Sintering Condition.

한태희\*, 박종광\*, 한병성\*\*  
(Tae-Hee Han, Jong-Kwang Park, Byoung-Sung Han)

#### Abstract

We have investigated the  $\text{LiMn}_2\text{O}_4$  system as an cathode material for lithium rechargeable batteries.  $\text{LiMn}_2\text{O}_4$  spinel oxides have been synthesized by a solid state methode. We varied sintering time at a fixed sintering temperature of 750°C.

In order to investigate the electrochemical properties of prepared  $\text{LiMn}_2\text{O}_4$ , we assembled three-electrode cells using the working electrode as active material and Li metal as the counter and reference electrodes. The electrolyte was 1 M  $\text{LiPF}_6$ -EC:DEC(1:1 by volume). The particle size of sample synthesized at 750°C ranged about 60  $\mu\text{m}$ . The discharge capacity of a cell involving spinel  $\text{LiMn}_2\text{O}_4$  increased with increasing sintering time.

**Key words(중요용어)** :  $\text{LiMn}_2\text{O}_4$ , Capacity(용량), Spinel(스피넬), Cathode(양극), Battery(전지).

#### 1. 서 론

전자산업의 발달로 휴대용 전자기기들이 소형화, 경량화되어 가고 있고 고 에너지밀도를 갖는 전원을 요구하고 있다. 이런 요구를 만족시킬 수 있는 전지가 리튬 2차전지이다. 80년대 말경부터 전기 화학당량이 작고 고산화력을 갖춘 이온 결합성 Channel상 천이금속 산화물( $\text{V}_2\text{O}_5$ ,  $\text{MnO}_2$ )에 대한 연구가 주류를 이루었다. 그러다가 1990년초 양극 뿐만 아니라 음극에도 삽입 host를 채용한 rocking chair형 리튬 2차 전지가 개발되어 4V급 고기전력 리튬 함유 천이금속 산화물을 양극으로 이용하고 있다.

\* : 전북대학교 전기공학과

\*\* : 전북대학교 공업기술연구소

(전주시 덕진동 1가 664-14 Fax : 0652-277-0918,

E-mail : hbs@moak.chonbuk.ac.kr)

1998년 9월 28일 접수, 1999년 1월 11일 심사완료

리튬 이온전지는 양·음극 모두 충·방전에 있어서 그 구조는 변하지 않고 리튬 이온이 삽입/탈리 할 수 있는 재료를 이용한다. 특히, 싸이클 수명이 길다는 장점과 함께 금속리튬을 이용하지 않으므로 안정성도 아주 높다는 것이 특징이다.<sup>1)</sup> 리튬 이온 전지의 양극재료는  $\text{LiCoO}_2$ <sup>2)</sup>와  $\text{LiNiO}_2$ <sup>3)</sup>,  $\text{LiMn}_2\text{O}_4$ <sup>4-9)</sup> 등을 주로 사용하고 있고 음극 재료로는 초기에 금속 Li를 사용하였지만 Li이 침상 형태(dendrite)로 성장하여 단락의 원인이 되기 때문에 현재는 탄소나 graphite를 음극 재료로 사용하고 있다. 리튬 이온전지의 양극재료는  $\text{LiCoO}_2$ 를 주로 채택하였지만 코발트가 고가의 양극 재료로 전지 가격의 1/3을 차지하고 있고 환경오염 등의 문제를 앓고 있다. 충상 구조인  $\text{LiNiO}_2$ 는 200mAh/g 이상의 방전용량을 갖지만 과전압이 크고, 제조 공정이 어려운 단점을 가지고 있다. 스피넬형  $\text{LiMn}_2\text{O}_4$ 는 망간(Mn)이 코발트(Co)보다 약 10배정도 가격이 저렴하고 환경오염이 적어 리튬 이온전지의 양극재료로 많이 연구되고 있다.

스피넬  $\text{LiMn}_2\text{O}_4$ 는 이론 용량이  $148\text{mAh/g}$ 으로 이 화합물은 사이클이 진행됨에 따라 용량이 감소한다. 이러한 문제점을 해결하기 위하여 고상법<sup>4)</sup>, 졸겔법<sup>5)</sup>, Pechini법<sup>6)</sup> 등을 이용하여 열처리 온도, 냉각속도, 리튬 precursor의 양 등의 조건을 변화하여 용량을 향상시키려는 논문이 자주 보고되고 있다. 스피넬 망간의 4V영역의 방전곡선에는 고전압측(4.15V)과 저전압측(4.05V)의 두 단파가 나타나며 충·방전을 실행하면 고전압측의 용량은 서서히 감소하지만 저전압측의 용량은 변하지 않는다. 또한, 고전압측에서는 결정격자 정수가 다른 입방정 스피넬이 2개 공존하고 저전압 영역에서는 1개의 입방정 스피넬이 존재하여 리튬 이온의 삽입/탈리에 따라 격자가 팽창, 수축을 하며 L자 곡선과 S자 곡선을 보인다. 충·방전이 진행됨에 따라 결정구조와 용량과의 메커니즘(mechanism)에 관한 원인은 아직까지 체계적으로 확립되어 있지 않다.

본 연구에서는 양극 활물질에 대한 기초 연구를 위해서 스피넬  $\text{LiMn}_2\text{O}_4$ 를 고상법을 이용하여 열처리온도를 변화하여 전기 화학적 특성을 조사하였다. 또한 열처리온도를  $750^\circ\text{C}$ 로 고정하고 열처리 시간을 12~210시간 동안 변화하여  $\text{LiMn}_2\text{O}_4$ 를 제조하였을 때 분말의 특성과 충·방전에 따른 리튬 이온 전지로서의 전기 화학적 제반 특성에 관하여 연구하였다.

## 2. 실험방법

양극 활물질은  $\text{LiOH} \cdot \text{H}_2\text{O}$ (Aldrich, 99.99%)와 CMD (WSLi, Sedema)를 출발물질로 하여 리튬염과 이산화망간을 1:2 ( $\text{Li:Mn}$ )의 비율로 혼합하였다. 이 시료를  $62\mu\text{m}$ 의 sieve를 통과한 다음  $350^\circ\text{C}$ 의 공기 중에서 12시간 동안 1차 열처리를 하였다. 열처리한 시료를 공기중에서  $600\sim 900^\circ\text{C}$ 까지 재열처리하였고, 열처리 시간에 따른 특성을 조사하기 위하여 온도를  $750^\circ\text{C}$ 로 고정하고 12~120시간까지 변화하여  $\text{LiMn}_2\text{O}_4$ 를 제조하였다.

양극의 제조는  $\text{LiMn}_2\text{O}_4$ 를 84wt%, 도전제로는 denka black을 10wt%를 비이카에 넣고 적당량의 알코올을 혼합한 후 바인더로 Teflon (dupont 30J) 6w%를 가하여 혼합물이 균질하게 혼합되도록 잘 저어서 뎅어리(dough)형태로 만들었다.  $300^\circ\text{C}$ 온도에서 curing시킨 후 스테인레스 망( $1\text{cm} \times 1.3\text{cm}$ )에 균일하게 도포한 다음 압연하여 양극을 제조하였다. 리튬 금속을 스테인레스 망위에 압착시켜 음극으로 사용하였고, 전해액으로는 1M- $\text{LiPF}_6/\text{EC:DEC}(1:1)$

(Mitsubishi Chem., Japan)을 사용하였다. 전극의 단락을 막기 위하여 격리막으로 microporous polypropylene (Celgard 2500)을 열용착시켜 사용하였다.

제조된 시료의 결정구조는 X-선 회절 분석기(D/Max-III A)를 사용하여  $10^\circ\sim 80^\circ$ 의 범위에서 측정하였다. 전극의 morphology 영향에 관한 분석에는 SEM (X-650, Hidachi)을 이용하여 입자의 형상과 결정크기를 대략적으로 측정하였다. 전기화학적 특성은 순환전위 전류법으로 potentiostat/galvanostat (EG&G, model 273)을 이용하여  $3.0\text{V}\sim 4.2\text{V}$  영역에서  $0.1\text{mV/s}$ 의 주사속도로 산화 환원 특성을 측정하였다. 사이클 수명은 충방전 시험기(Maccor)를 이용하여  $3.0\text{V}\sim 4.2\text{V}$  범위에서 전류를  $0.45\text{mA/cm}^2$ 로 측정하였다.

## 3. 결과 및 고찰

그림 1은  $350^\circ\text{C}$ 에서 12시간동안 열처리하고 분말을 혼합한 다음  $750^\circ\text{C}$ 에서 12~210시간까지 열처리 시간을 변화하였을 경우의 XRD패턴을 보여주고 있다. JCPDS(#35-0782)와 측정시료의 X-ray 회절 피크를 비교하여 space group Fd3m에서 cubic 구조인 spinel  $\text{LiMn}_2\text{O}_4$ 임을 확인하였고 스피넬  $\text{LiMn}_2\text{O}_4$ 의 다른 불순한 피크는 발견되지 않았다.

그림 2는 출발물질인 이산화망간( $\text{MnO}_2$ )과 고상법을 이용하여 합성한  $\text{LiMn}_2\text{O}_4$ 의 SEM사진을 나타내고 있다. 그림 2(a)의 이산화망간( $\text{MnO}_2$ )의 입자들은 구형의 입자들이며 크기는 약  $60\mu\text{m}$ 의 불 규칙한 구형의 입자들로 구성되고 있으며 표면형상이 깨끗하였다. 그림 2(b)는  $750^\circ\text{C}$ 에서 열처리한 경우의 SEM사진으로 출발물질과 큰 차이를 보이지 않았다. 이것은 열처리하는 동안  $\text{LiOH}$ 가 많은 기공을 가지고 있는 이산화망간의 내부까지 침투하여 반응이 진행되어도 모체인 이산화 망간의 기본 형상의 변화없이 생성된  $\text{LiMn}_2\text{O}_4$ 의 입자형태는 출발물질과 거의 차이가 없음을 볼 수 있다.

그림 3은 리튬 염( $\text{LiOH} \cdot \text{H}_2\text{O}$ )과 이산화망간(CMD)을  $350^\circ\text{C}$ 에서 12시간 동안 열처리하고 난 다음 2차 열처리온도를 변화하여 제조한 스피넬  $\text{LiMn}_2\text{O}_4$ 와 대극으로 Li를 사용하여 50회 충·방전 특성을 나타낸 것이다. 열처리온도를 변화하여 제조한 시료를  $3.0\sim 4.2\text{V}$ 의 전압구간에서  $0.45\text{mA/cm}^2$ 로 충전하는 동안 시료들은 3.9V까지 급격하게 증가한 다음 서서히 전압이 증가하고 있다. 열처리 온도가 증가할수록 2개의 평탄영역을 나타냈고 시료

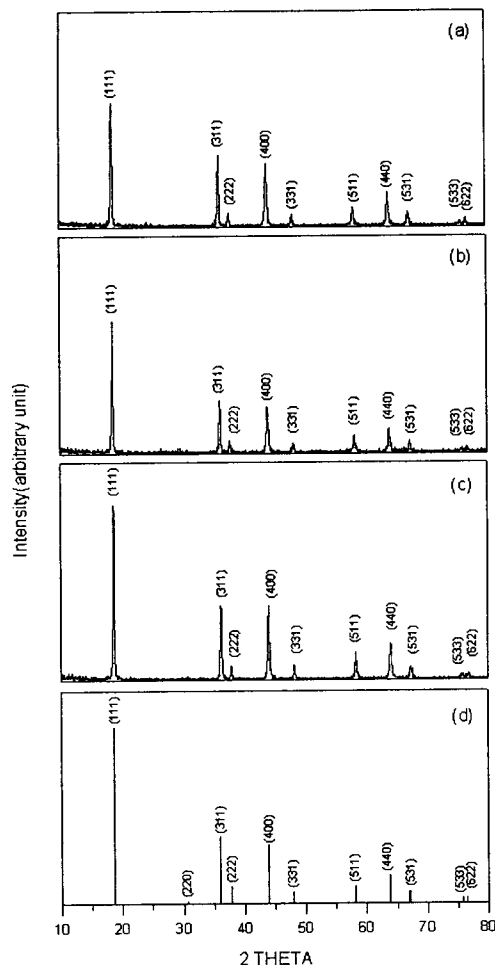


그림 1. 열처리 시간을 변화하여 제조한  $\text{LiMn}_2\text{O}_4$ 의 X-선 회절 패턴  
(a) 12h (b) 24h (c) 48h (d) reference

Fig. 1. X-ray diffraction patterns of  $\text{LiMn}_2\text{O}_4$  samples fired for various times.  
(a) 12h (b) 24h (c) 48h (d) reference

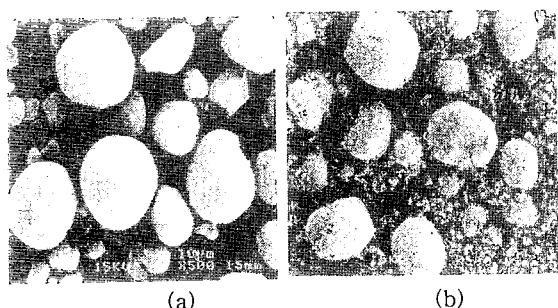
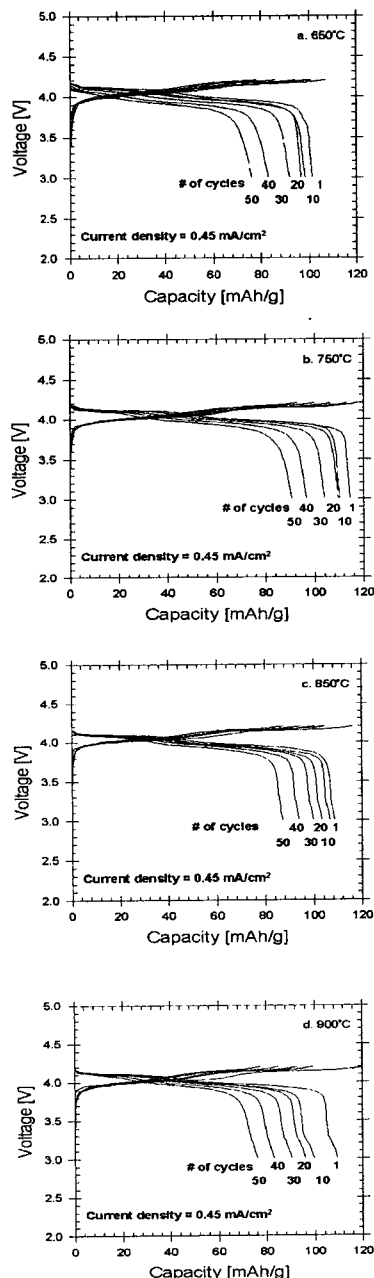


그림 2. 주사 전자 현미경 사진.

(a)  $\text{MnO}_2$  (b) spinel  $\text{LiMn}_2\text{O}_4$

Fig. 2. Scanning electron micrographs of  
(a)  $\text{MnO}_2$  (b) spinel  $\text{LiMn}_2\text{O}_4$

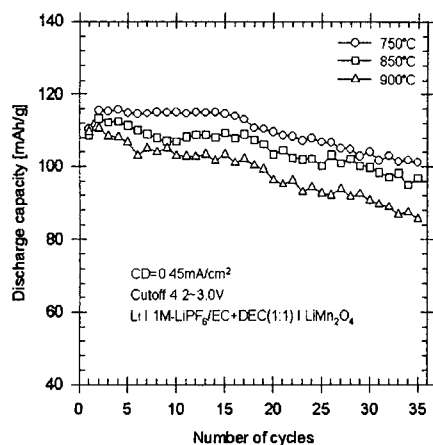


**그림 3.** 열처리 온도를 변화하여 제조한  $\text{LiMn}_2\text{O}_4$  시료의 50회 사이클의 충·방전 곡선.  
 (a) 650°C (b) 750°C (c) 850°C (d) 900°C

**Fig. 3.** Charge · discharge characteristics of the first 50th cycles of  $\text{LiMn}_2\text{O}_4$  samples fired to different temperatures.  
 (a) 650°C (b) 750°C (c) 850°C (d) 900°C

들 모두 L자 곡선을 나타내고 있다. 또한 열처리 온도가 상승함에 따라 용량이 증가되었고 850°C 이상에서는 용량이 감소되었다. 또한 750°C까지는 3.3V의 plateau가 발견되지 않았고 850°C 이상에서 3.3V의 plateau를 발견하였다. Dahn<sup>7)</sup>은 3.3V에서의 plateau는 산소 결합으로 인한 현상이라고 보고하였으며 그림 3(c)와 그림 3(d)에서 3.3V plateau가 나타났으며 용량이 감소한 것을 확인하였다.

그림 4는 열처리온도를 700~900°C까지 변화하였을 때  $\text{LiMn}_2\text{O}_4$ 의 35회까지의 방전 특성을 보인 것으로 고온에서 열처리하였을 경우 방전용량이 감소되었다. 이러한 현상을 Cho는<sup>8)</sup> 고온에서 열처리할 경우 산소 손실에 의해 화학당량(stoichiometry)이 변화되고 이로 인하여 평균 망간 산화수가 3.5이하가 되어 용량이 감소한다고 보고하고 있다. 또한, 충·방전 사이클이 진행될수록 용량 값이 감소되는 것을 확인할 수 있고 용량 감소 원인으로는<sup>9)</sup> 충·방전시 높은 전압에 도달할 때 유기 전해질의

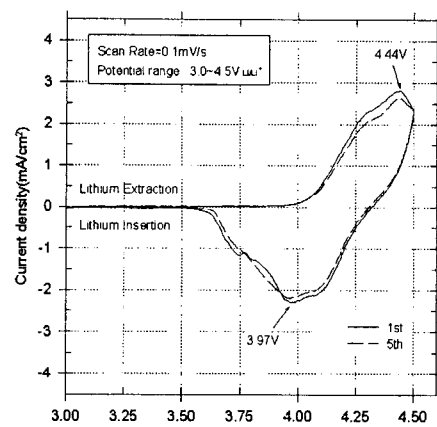


**그림 4.** 열처리온도를 변화하여 제조한 스팾넬  $\text{LiMn}_2\text{O}_4$ 의 방전용량 곡선.

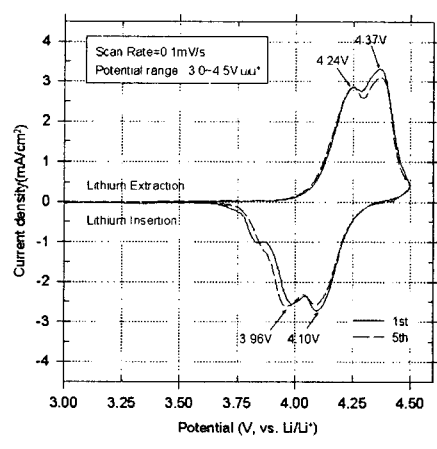
**Fig. 4.** Discharge capacity curves of spinel  $\text{LiMn}_2\text{O}_4$  fired to different temperatures.

분해와 불균형 반응에 의한 전해질로  $\text{Li}_x\text{Mn}_2\text{O}_4$  전극에서  $\text{Mn}^{+3}$  용해되며 ( $2\text{Mn}^{+3} \rightarrow \text{Mn}^{4+} + \text{Mn}^{2+}$ ) 과방전된  $\text{Li}_x\text{Mn}_2\text{O}_4$  전극에서 Jahn-Teller distortion의 발생에 기인하는 것으로 판단된다.

그림 5는 고성법으로 제조된  $\text{LiMn}_2\text{O}_4$ 를 양극활물질로 하여 전지를 구성하고 주사속도를 0.1mV/s로, 전위영역을 개로 전압(open circuit voltage)으로부터 시작하여 3.0~4.5V로하여 충·방전을 진행한



(a)



(b)

**그림 5.** 열처리시간을 변화하여 제조한 스팿넬  $\text{LiMn}_2\text{O}_4$ 의 정전류 전압곡선.

(a) 750°C - 12hr (b) 750°C - 48hr

**Fig. 5.** Cyclic voltammogram of spinel  $\text{LiMn}_2\text{O}_4$  synthesized at various sintering time.  
 (a) 750°C - 12hr (b) 750°C - 48hr

후의 순환전위 전류법이다. 그림 5(a)는 12시간 열처리한 시편의 경우로 전지의 개로 전압에서 4.0V 부근까지 산화전류가 미약하게 흐르다가 4.0V에서 4.25V까지 급격하게 증가한 후 4.44V에서 환원 피크가 나타났다. 사이클이 진행될 때마다 환원 피크는 감소하였다. 48시간 동안 열처리한 그림 5(b)의 경우 산화-환원 피크가 선명하게 구분되었고 사이클이 진행할수록 산화-환원 피크는 감소하였다. 이것을 반응식으로 나타내면 다음과 같다.

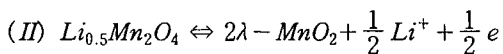
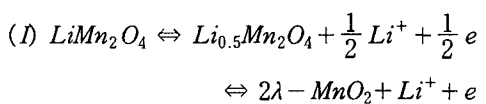


그림 6은 열처리 시간을 변화하여 제조한 시료의 1회 충·방전 용량 값을 나타내었다. 충전하는 동안 전압은 3.9V까지 급격하게 증가한 다음 2-step구조를 하고 있다. 열처리시간이 증가할수록 충·방전용량이 증가하고 있으며 48시간 동안 열처리한 경우와 비교하였을 때 120시간 동안 열처리한 경우의 충·방전용량이 크게 증가되지 않았다.

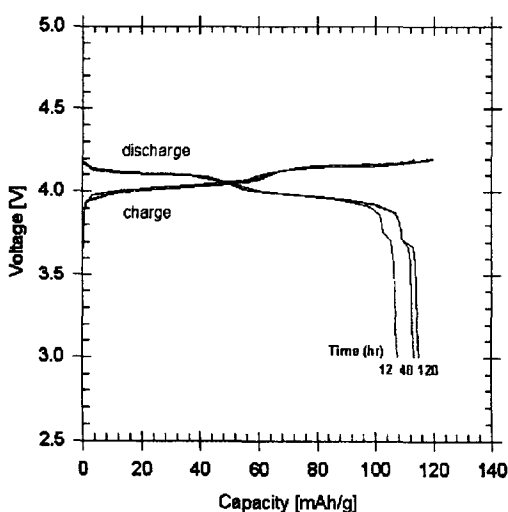


그림 6. 열처리시간을 변화하여 제조한  $\text{LiMn}_2\text{O}_4$ 의 1회 충·방전 곡선.

Fig. 6. The first charge-discharge curves of  $\text{LiMn}_2\text{O}_4$  prepared at various heat times.

그림 7은 열처리 시간을 변화하여 제조한  $\text{LiMn}_2\text{O}_4$ 를 양극 활물질로 하고  $0.45\text{mA}/\text{cm}^2$ 의 전류를 인가하였을 때 사이클 수에 따른 방전 용량 값을 나타내었다. 전체적으로 열처리 시간이 증가할수록 방전 용량 값은 증가하고 있으며 40회정도 사이클이 진행되어도 그래프의 개형은 변하지 않았다

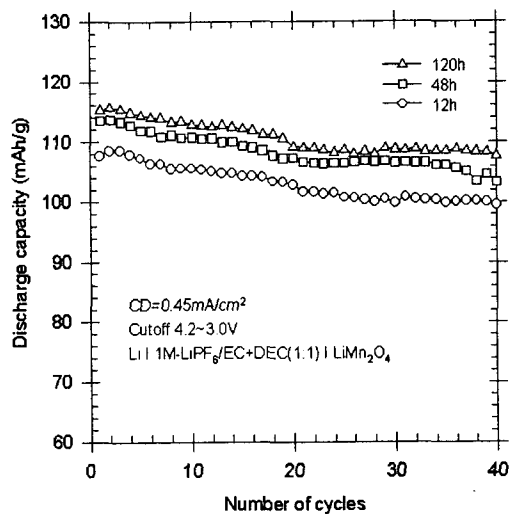


그림 7. 열처리시간을 변화하여 제조한  $\text{LiMn}_2\text{O}_4$  전지의 방전 용량곡선.

Fig. 7. Comparison of the discharge cyclability of  $\text{LiMn}_2\text{O}_4$  cathodes synthesized at various heat times.

#### 4. 결 론

본 연구에서는  $\text{LiOH} \cdot \text{H}_2\text{O}$ 와  $\text{MnO}_2$ 을 1:2의 몰비로 혼합하여  $350^\circ\text{C}$ 에서 12시간 열처리한 다음  $750^\circ\text{C}$ 에서 열처리시간을 12~120시간까지 변화하여 스피넬 구조인  $\text{LiMn}_2\text{O}_4$ 를 제조하여 다음과 같은 결론을 얻었다.

1. 입자의 크기와 모양은 출발물질인 이산화망간과 같은 형상이었고 혼합, 분쇄, 열처리과정을 거치면서 미립자의 리튬염이 이산화 망간 속으로 침투하여 스피넬  $\text{LiMn}_2\text{O}_4$ 의 화합물을 형성하였다.
2. 열처리온도를 변화한 경우  $750^\circ\text{C}$ 에서는 3.3V의 plateau가 발견되지 않았고  $850^\circ\text{C}$ 와  $900^\circ\text{C}$ 에서 3.3V의 plateau가 발견되었다. 이것은 고온도에서 열처리하는 경우 산소의 결함에 의한 가역성을 저하시키는 원인이 된다.

3. 750°C로 고정하고 12, 48, 120시간동안 열처리하였을 경우 초기 방전 용량 값은 107, 113, 115mAh/g으로 시간에따라 증가하였다.
4. 열처리시간이 증가할수록 방전 용량 값은 증가하고 있으며 장시간 동안 열처리하여도 열처리시간에 비례하여 크게 상승하지는 않았다.
5. 사이클이 진행할수록 방전 용량 값은 감소하였고 곡선의 개형은 변하지 않았다.

#### 참 고 문 헌

1. 芳尾眞辛, “リチウムイオン二次電池 -材料と応用-”, 日刊工業新聞社, 1996.
2. K.Sekai, H.Azuma and A.Omaru, "Lithium-ion rechargeable cells with LiCoO<sub>2</sub> and carbon electrodes", J. Power Sources, Vol. 43-44, pp.241-244, 1993.
3. J.Barker, R.Koksbang and M.Y.Saidi, "An electrochemical investigation into the lithium insertion properties of Li<sub>x</sub>NiO<sub>2</sub>(0≤x≤1)", Solid State Ionics, Vol. 89, pp.25-35, 1996.
4. J.Cho, J.Guan and M.Liu, "Electrochemical properties of LiMn<sub>2</sub>O<sub>4</sub> composite electrode in cells based on glass-polymer composite electrolytes", Solid State Ionics, Vol. 95, pp.289-294, 1995.
5. S.Bach, M.Henry, N.Baffier and J.Livage, "Sol-Gel Synthesis of Manganese Oxides", J. Solid State Chem., Vol. 88, pp.325-333, 1990.
6. W.Liu and G.C.Farrington, "Synthesis and Electrochemical Studies of Spinel Phase LiMn<sub>2</sub>O<sub>4</sub> Cathode Materials Prepared by the Pechini Process", J. Electrochem. Soc., Vol. 143, No. 3, pp.879-884, 1996.
7. Y.Gao, J.R.Dahn, "Correlation between the growth of the 3.3V discharge plateau and capacity fading in Li<sub>1+x</sub>Mn<sub>2-x</sub>O<sub>4</sub> materials", Solid State Ionics, Vol. 84, pp.33-40, 1996.
8. J.Cho, J.Guan and M.Liu, "Electrochemical properties of LiMn<sub>2</sub>O<sub>4</sub> composite electrode in cells based on glass-polymer composite electrolytes", Solid State Ionics, Vol. 95, pp.289-294, 1995.
9. R.G.Gummow, A.Kock and M.M.Thackeray, "Improved capacity retention in rechargeable 4V lithium/lithium manganese oxide (spinel) cells", Solide State Ionics, Vol. 69, pp.59-67, 1994.